

А. П. МЕЛКОНЯН

## ОБ ИЗГИБЕ ТРАНСВЕРСАЛЬНО-ИЗОТРОПНЫХ ПЛАСТИНОК, ЛЕЖАЩИХ НА УПРУГОМ ОСНОВАНИИ

Исходя из уточненной теории анизотропных пластинок, изложенной в работе [1], дается решение задачи изгиба прямоугольной трансверсально-изотропной пластинки, лежащей на упругом винклеровом основании, под действием произвольной поперечной нагрузки в случае, когда два противоположных края пластинки свободно оперты, а два других могут быть закреплены различным образом.

В частности, решена задача изгиба прямоугольных пластинок, свободно опертых по всему контуру, под действием равномерно-распределенной нагрузки.

§ 1. Задача об изгибе трансверсально-изотропных пластинок по уточненной теории С. А. Амбарцумяна [1], учитывающей влияние поперечных сдвигов и нормальных напряжений в плоскостях, параллельных срединной плоскости пластинки, приводится к следующей системе двух независимых уравнений относительно прогиба  $w$  и некоторой функции  $\Phi$  [2]:

$$\begin{aligned} D\Delta\Delta w &= Z - \omega\Delta Z, \\ \Delta\Phi - \delta^2\Phi &= 0. \end{aligned} \quad (1.1)$$

Изгибающие и крутящий моменты и перерезывающие силы выражаются через функции  $w$  и  $\Phi$  следующим образом:

$$\begin{aligned} M_x &= -D\left(\frac{\partial^2 w}{\partial x^2} + \mu \frac{\partial^2 w}{\partial y^2}\right) + \frac{2D}{\delta^2} \frac{\partial^2}{\partial y^2} \Delta w + \frac{2}{\delta^2} \frac{\partial^2 \Phi}{\partial x \partial y} - \omega \left(Z - \frac{2}{\delta^2} \frac{\partial^2 Z}{\partial y^2}\right), \\ M_y &= -D\left(\mu \frac{\partial^2 w}{\partial x^2} + \frac{\partial^2 w}{\partial y^2}\right) + \frac{2D}{\delta^2} \frac{\partial^2}{\partial x^2} \Delta w - \frac{2}{\delta^2} \frac{\partial^2 \Phi}{\partial x \partial y} - \omega \left(Z - \frac{2}{\delta^2} \frac{\partial^2 Z}{\partial x^2}\right), \\ H &= -D(1 - \mu) \frac{\partial^2 w}{\partial x \partial y} - \frac{2D}{\delta^2} \frac{\partial^2}{\partial x \partial y} \Delta w - \frac{2\omega}{\delta^2} \frac{\partial^2 Z}{\partial x \partial y} - \frac{1}{\delta^2} \left(\frac{\partial^2 \Phi}{\partial x^2} - \frac{\partial^2 \Phi}{\partial y^2}\right), \\ N_x &= -D \frac{\partial}{\partial x} \Delta w - \omega \frac{\partial Z}{\partial x} + \frac{\partial \Phi}{\partial y}, \\ N_y &= -D \frac{\partial}{\partial y} \Delta w - \omega \frac{\partial Z}{\partial y} - \frac{\partial \Phi}{\partial x}, \end{aligned} \quad (1.2)$$

где

$$\delta^2 = \frac{10 G'}{G h^2}, \quad \omega = \frac{h^2}{10(1-\mu)} \left(2 \frac{1}{G} - \mu' \frac{E}{E'}\right), \quad (1.3)$$

$\Delta$  — оператор Лапласа;  $h$ ,  $D$  — толщина и изгибная жесткость пластиинки;  $E$ ,  $G$ ,  $\mu$  — модуль упругости, модуль сдвига и коэффициент Пуассона в плоскости изотропии, параллельной срединной плоскости пластиинки;  $E'$ ,  $G'$ ,  $\mu'$  — модуль упругости, модуль сдвига и коэффициент Пуассона в плоскостях, перпендикулярных плоскости изотропии;  $Z$  — интенсивность распределенной поперечной нагрузки.

Уравнения изгиба пластиинки, лежащей на сплошном упругом винклеровом основании, а также все необходимые расчетные величины получим из приведенных выше формул, если в них положить

$$Z = q(x, y) - kw, \quad (1.4)$$

где  $k$  — коэффициент постели,  $q(x, y)$  — интенсивность активной нагрузки.

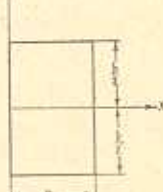
§ 2. Рассмотрим задачу об изгибе прямоугольной пластиинки, лежащей на упругом основании, под действием произвольной активной поперечной нагрузки  $q(x, y)$ .

Пусть пластиинка изготовлена из трансверсально-изотропного материала, плоскость изотропии которого параллельна срединной плоскости пластиинки.

Подставив (1.4) в (1.1), для задачи изгиба пластиинки, лежащей на упругом основании, получим следующие уравнения:

$$\begin{aligned} D\Delta\Delta w + k(w - \omega\Delta w) &= q - \omega\Delta q, \\ \Delta\Phi - \partial^2\Phi &= 0. \end{aligned} \quad (2.1)$$

Пусть пластиинка свободно оперта по двум противоположным краям  $x = 0$  и  $x = a$  (фиг. 1). Условия свободного опирания по этим краям, согласно [1], записутся в виде



Фиг. 1.

$$\begin{aligned} w &= 0 \\ M_x &= 0 \quad \text{при } x = 0 \\ \psi &= \frac{12}{h^3} N_y = 0 \quad \text{при } x = a. \end{aligned} \quad (2.2)$$

Решения уравнений (2.1), тождественно удовлетворяющие граничным условиям (2.2), ищем в виде

$$w(x, y) = \sum_{n=1}^{\infty} W_n(y) \sin \lambda_n x, \quad (2.3)$$

$$\Phi(x, y) = \sum_{n=1}^{\infty} \Phi_n(y) \cos \lambda_n x \quad \left( \lambda_n = \frac{\pi n}{a} \right). \quad (2.3)$$

Подставив (2.3) в уравнения (2.1) и представив внешнюю активную нагрузку в виде ряда

$$q(x, y) = \sum_{n=1}^{\infty} P_n(y) \sin \lambda_n x, \quad (2.4)$$

где

$$P_n(y) = \frac{2}{a} \int_0^a q(x, y) \sin i_n x dx, \quad (2.5)$$

получим следующие обыкновенные дифференциальные уравнения относительно  $W_n(y)$  и  $\Phi_n(y)$ :

$$W_n'' - 2(\gamma_n^2 - \delta_n^2) W_n' + (\gamma_n^2 + \delta_n^2) W_n = \frac{1 + \lambda_n^2 \omega}{D} P_n(y) - \frac{\omega}{D} P_n'(y), \quad (2.6)$$

$$\Phi_n' - (\gamma_n^2 + \delta_n^2) \Phi_n = 0, \quad (2.7)$$

где

$$\left| \frac{\gamma_n^2}{\delta_n^2} \right| = \frac{1}{2} \left[ \sqrt{\frac{\gamma_n^4 + k}{D} (1 + \lambda_n^2 \omega)} \pm \left( \gamma_n^2 + \frac{k \omega}{2D} \right) \right]. \quad (2.8)$$

Общее решение каждого из уравнений (2.6) и (2.7) соответственно записывается в виде

$$W_n(y) = A_n \operatorname{ch} \gamma_n y \cos \delta_n y + B_n \operatorname{sh} \gamma_n y \sin \delta_n y + C_n \operatorname{sh} \gamma_n y \cos \delta_n y + D_n \operatorname{ch} \gamma_n y \sin \delta_n y + W_n^*(y), \quad (2.9)$$

$$\Phi_n(y) = F_n \operatorname{sh} \sqrt{\gamma_n^2 + \delta_n^2} y + H_n \operatorname{ch} \sqrt{\gamma_n^2 + \delta_n^2} y. \quad (2.10)$$

Здесь  $W_n^*$  представляет собой частное решение неоднородного уравнения (2.6) и определяется формулой

$$W_n^*(y) = \frac{1}{2D \gamma_n \delta_n (\gamma_n^2 + \delta_n^2)} \int_{\gamma_n}^{(y)} [{}^0 P_n(\eta) - (1 + \lambda_n^2 \omega) P_n(\eta)] \times$$

$$\times [\gamma_n \sin \delta_n(\eta - y) \operatorname{ch} \gamma_n(\eta - y) - \delta_n \cos \delta_n(\eta - y) \operatorname{sh} \gamma_n(\eta - y)] d\eta, \quad (2.11)$$

где под введенным обозначением  $(y)$  над знаком интеграла будем понимать, что после выполнения интегрирования следует  $\eta$  заменить через  $y$ .

Постоянные интегрирования  $A_n, B_n, C_n, D_n, F_n, H_n$ , входящие в (2.9) и (2.10), определяются из граничных условий пластиинки по краям  $y = \pm \frac{b}{2}$ .

Таким образом, решение каждой конкретной задачи сводится к нахождению постоянных интегрирования, входящих в выражения (2.9), (2.10), после чего по вышеприведенным формулам могут быть определены все необходимые расчетные величины.

§ 3. В качестве примера рассмотрим задачу изгиба прямоугольной пластиинки, лежащей на упругом основании, под действием равномерно распределенной нагрузки  $q_0 = \text{const}$  в случае, когда пластиинка свободно оперта по всему контуру. Для равномерно распределенной нагрузки выражение (2.5) примет вид

$$P_n = \frac{4q_0}{\pi D} \quad (n=1, 3, 5\dots). \quad (3.1)$$

В этом случае изогнутая поверхность пластинки симметрична относительно оси  $x$  (фиг. 1). В силу указанной симметрии очевидно, что в выражениях (2.9) и (2.10)  $\Phi_n(y)$  будет нечетной, а  $W_n(y)$  — четной функциями. Поэтому для рассматриваемой здесь задачи в выражениях (2.9) и (2.10) следует положить

$$C_n = D_n = H_n = 0. \quad (3.2)$$

С учетом (3.1) и (3.2) из (2.9) и (2.10) получим

$$\begin{aligned} W_n(y) &= A_n \operatorname{ch} \gamma_n y \cos \delta_n y + B_n \operatorname{sh} \gamma_n y \sin \delta_n y + \frac{4q_0(1+\lambda_{n0}^2)}{\pi D n (\gamma_n^2 + \delta_n^2)^2}, \\ \Phi_n(y) &= F_n \operatorname{sh} \sqrt{\gamma_n^2 + \delta_n^2} y. \end{aligned} \quad (3.3)$$

Неизвестные постоянные  $A_n, B_n, F_n$ , в силу симметрии, могут быть определены из условий свободного опирания пластиинки по одному из краев  $y = \pm \frac{b}{2}$ .

Условия свободного опирания по краю  $y = \frac{b}{2}$  имеют вид [1]

$$w = 0, \quad M_y = 0, \quad \varphi = -\frac{12}{h^3} N_x = 0. \quad (3.4)$$

Учитывая (1.2) и (2.3), граничные условия (3.4) можно привести к виду

$$\begin{aligned} W_n\left(\frac{b}{2}\right) &= 0, \\ W_n'\left(\frac{b}{2}\right) + \frac{\omega}{D} P_n\left(\frac{b}{2}\right) - \frac{1}{D \lambda_n} \Phi_n'\left(\frac{b}{2}\right) &= 0, \\ W_n'\left(\frac{b}{2}\right) + \frac{\omega}{D} P_n\left(\frac{b}{2}\right) &= 0. \end{aligned} \quad (3.5)$$

Подставив значения  $W_n(y), \Phi_n(y)$  и  $P_n(y)$  из (3.1) и (3.3) в (3.5), получим систему трех линейных алгебраических уравнений относительно  $A_n, B_n, F_n$ , решая которую, найдем

$$\begin{aligned} A_n &= \frac{2q_0}{\pi D n \gamma_n \delta_n f_{n1}\left(\frac{b}{2}\right)} \left\{ \left[ \omega - (1 + \lambda_{n0}^2) \frac{\gamma_n^2 - \delta_n^2}{(\gamma_n^2 + \delta_n^2)^2} \right] \operatorname{sh} \alpha_n \sin \beta_n - \right. \\ &\quad \left. - \frac{2 \gamma_n \delta_n (1 + \lambda_{n0}^2)}{(\gamma_n^2 + \delta_n^2)^2} \operatorname{ch} \alpha_n \cos \beta_n \right\}, \\ B_n &= -\frac{2q_0}{\pi D n \gamma_n \delta_n f_{n1}\left(\frac{b}{2}\right)} \left\{ \left[ \omega - (1 + \lambda_{n0}^2) \frac{\gamma_n^2 - \delta_n^2}{(\gamma_n^2 + \delta_n^2)^2} \right] \operatorname{ch} \alpha_n \cos \beta_n + \right. \end{aligned} \quad (3.6)$$

$$\left. + \frac{2 \gamma_n \delta_n (1 + \lambda_{n0}^2)}{(\gamma_n^2 + \delta_n^2)^2} \operatorname{sh} \alpha_n \sin \beta_n \right\}.$$

$$+ \frac{2\gamma_n \delta_n (1 + i_n^2 \omega)}{(\gamma_n^2 + \delta_n^2)^2} \sin \beta_n \sin \delta_n \Big\}, \quad F_n = 0$$

также

$$z_n = \frac{\gamma_n b}{2}, \quad \beta_n = \frac{\delta_n b}{2},$$

$$f_{n1}(y) = \cosh z_n \cosh \gamma_n y \cos \beta_n \cos \delta_n y + \sinh z_n \sinh \gamma_n y \sin \beta_n \sin \delta_n y,$$

$$f_{n2}(y) = \cosh z_n \sinh \gamma_n y \cos \beta_n \sin \delta_n y - \sinh z_n \cosh \gamma_n y \sin \beta_n \cos \delta_n y.$$

После определения коэффициентов, пользуясь (2.3) и (3.3), для искомых функций  $w(x, y)$  и  $\Phi(x, y)$  окончательно получим

$$\begin{aligned} w(x, y) = & \frac{4q_0}{\pi D} \sum_{n=1, 3, 5, \dots}^{\infty} \frac{1}{n(\gamma_n^2 + \delta_n^2)^2} \left\{ (1 + i_n^2 \omega) + \right. \\ & + \frac{1}{2\gamma_n \delta_n f_{n1}\left(\frac{b}{2}\right)} \left[ [\lambda_n^2 - (1 + i_n^2 \omega)(\gamma_n^2 - \delta_n^2 - \lambda_n^2)] f_{n2}(y) - \right. \\ & \left. \left. - 2\gamma_n \delta_n (1 + i_n^2 \omega) f_{n1}(y) \right] \right\} \sin i_n x, \\ \Phi(x, y) = & 0. \end{aligned} \quad (3.7)$$

Имея выражения  $w$  и  $\Phi$ , легко найти все необходимые расчетные величины, на чем останавливаться не будем. Приведем лишь выражение максимального прогиба, имеющего место при  $x = \frac{a}{2}$ ,  $y = 0$

$$\begin{aligned} w_{max} = & \frac{4q_0}{\pi D} \sum_{n=1, 3, \dots}^{\infty} \frac{(-1)^{\frac{n-1}{2}}}{n(\gamma_n^2 + \delta_n^2)^2} \left\{ (1 + i_n^2 \omega) - \right. \\ & - \frac{\cosh z_n \cos \beta_n}{2\gamma_n \delta_n (\sinh^2 z_n + \cos^2 \beta_n)} \left[ 2(1 + i_n^2 \omega) \gamma_n \delta_n + \right. \\ & \left. \left. + [\lambda_n^2 - (1 + i_n^2 \omega)(\gamma_n^2 - \delta_n^2 - \lambda_n^2)] \tanh z_n \operatorname{tg} \beta_n \right] \right\}. \end{aligned} \quad (3.8)$$

Из (3.7), как частный случай, легко получить:

а) выражение прогиба  $w^*$ , соответствующее решению рассматриваемой задачи по классической теории изгиба пластинок. Действительно, полагая в (3.7)  $\omega = 0$ , получим

$$\begin{aligned} w^*(x, y) = & \\ = & \frac{4q_0}{\pi D} \sum_{n=1, 3, \dots}^{\infty} \frac{1}{n\left(\gamma_n^2 + \frac{k}{D}\right)} \left\{ 1 + \frac{1}{f_{n1}\left(\frac{b}{2}\right)} \left[ \sqrt{\frac{i_n^2}{k}} f_{n2}(y) - f_{n1}(y) \right] \right\} \sin i_n x, \end{aligned} \quad (3.9)$$

максимальное значение которого будет

$$w_{max}^* = \frac{4q_0}{\pi D} \sum_{n=1, 3, \dots}^{\infty} \frac{(-1)^{\frac{n-1}{2}}}{n\left(\gamma_n^2 + \frac{k}{D}\right)} \left\{ 1 - \frac{\cosh z_n \cos \beta_n}{\sinh^2 z_n + \cos^2 \beta_n} \left[ 1 + \sqrt{\frac{i_n^2}{k}} \tanh z_n \operatorname{tg} \beta_n \right] \right\}; \quad (3.9^*)$$

б) выражение  $\bar{w}$  при отсутствии упругого основания, соответствующее задаче изгиба пластиинки по теории [1], учитывающей деформации поперечных сдвигов и нормальных напряжений, действующих в плоскостях, параллельных срединной плоскости пластиинки. Для этого в (3.7), выполняя предельный переход при  $k \rightarrow 0$ , получим

$$\begin{aligned} \bar{w} = & \frac{4q_0 a^4}{\pi^5 D} \sum_{n=1, 3, \dots}^{\infty} \frac{1}{n^5} \left\{ \left[ 1 - \frac{x_n \operatorname{th} x_n + 2}{2} \operatorname{ch} \lambda_n y + \frac{\lambda_n}{2 \operatorname{ch} x_n} y \operatorname{sh} \lambda_n y \right] + \right. \\ & \left. + m \lambda_n^2 \left( 1 - \frac{\operatorname{ch} \lambda_n y}{\operatorname{ch} x_n} \right) \right\} \sin \lambda_n x, \quad (3.10) \\ \bar{w}_{\max} = & \frac{4q_0 a^4}{\pi^5 D} \left\{ \sum_{n=1, 3, \dots}^{\infty} \frac{(-1)^{\frac{n-1}{2}}}{n^5} \left[ 1 - \frac{x_n \operatorname{th} x_n + 2}{2 \operatorname{ch} x_n} \right] + \right. \\ & \left. + m \frac{\pi^2}{a^2} \sum_{n=1, 3, \dots}^{\infty} \frac{(-1)^{\frac{n-1}{2}}}{n^3} \left( 1 - \frac{1}{\operatorname{ch} x_n} \right) \right\}. \end{aligned}$$

Отметим, что этот результат был получен в работе [4], лишь с той разницей, что там учитывалось влияние только поперечных сдвигов;

в) выражение  $w^\circ$  при отсутствии упругого основания, соответствующее классической теории изгиба пластиинок [3]

$$\begin{aligned} w^\circ = & \frac{4q_0 a^4}{\pi^5 D} \sum_{n=1, 3, \dots}^{\infty} \frac{1}{n^5} \left[ 1 - \frac{x_n \operatorname{th} x_n + 2}{2 \operatorname{ch} x_n} \operatorname{ch} \lambda_n y + \frac{\lambda_n}{2 \operatorname{ch} x_n} y \operatorname{sh} \lambda_n y \right] \sin \lambda_n y, \quad (3.11) \\ w_{\max}^\circ = & \frac{4q_0 a^4}{\pi^5 D} \sum_{n=1, 3, \dots}^{\infty} \frac{(-1)^{\frac{n-1}{2}}}{n^5} \left[ 1 - \frac{x_n \operatorname{th} x_n + 2}{2 \operatorname{ch} x_n} \right]. \end{aligned}$$

В качестве численного примера приведем значения максимального прогиба для квадратной пластиинки при отсутствии упругого основания, вычисленные по теории [1].

Выполнив вычисления с учетом  $b = a$  и подставив значение  $w^\circ$  по формуле (1.3) в (3.10), получим

$$\bar{w}_{\max} = w_{\max}^\circ \left\{ 1 + \frac{1.8145}{1 - \mu^2} \left[ \frac{E}{G} - \mu' (1 + \mu) \frac{E}{E'} \right] \frac{h^2}{a^2} \right\}, \quad (3.12)$$

где  $w_{\max}^\circ$  — максимальный прогиб квадратной пластиинки, вычисленный по классической теории пластиинок, определяемый формулой [3]

$$w_{\max}^\circ = 0.00406 \frac{q_0 a^4}{D}. \quad (3.13)$$

В табл. 1 приводятся значения отношения максимального прогиба

(3.12) квадратной пластинки к соответствующей величине, вычисленной по классической теории пластинок (3.13) для различных значений отношений  $\frac{E}{G}$ ,  $\frac{E}{E'}$  и  $\frac{h}{a}$  при  $\mu = \nu = 0.25$ .

Из табл. 1 следует, что основная часть поправки получается от учета влияния деформаций поперечных сдвигов.

В табл. 2 приведены результаты вычислений отношения  $\frac{w_{\max}}{w_{\text{пах}}}$  по формулам (3.8) и (3.9) для квадратной пластинки  $a=b=100 \text{ см}$ , изготовленной из изотропного материала с  $\mu = 0.25$ , при различных соотношениях  $\frac{k}{E}$  и  $\frac{h}{a}$ .

Таблица 1

	$\frac{E}{E'}$	Значения отношений $\frac{w_{\max}}{w_{\text{пах}}}$			
		0	2.5	5	10
$\frac{h}{a} = \frac{1}{10}$	0	1.0484	1.0968	1.1935	
	1	—	1.0423	—	
	2	—	—	1.0847	1.1814
	5	—	—	1.0665	1.1633
$\frac{h}{a} = \frac{1}{5}$	0	1.1935	1.3871	1.7742	
	1	—	1.1694	—	
	2	—	—	1.3387	1.7258
	5	—	—	1.2661	1.6532

Таблица 2

$\frac{k}{E}$	$\frac{h}{a}$	
	1/10	1/5
$10^{-4}$	1.0351	1.1853
$5 \cdot 10^{-4}$	1.0110	1.1537

Результаты вычислений показывают, что учет поперечных сдвигов естественно приводит к увеличению прогибов.

Институт математики и механики  
АН Армянской ССР

Поступила 21 X 1965

Член-корреспондент А. А.

ԱՐՄԵՆԻԱՆ ՀԱՅՈՒԹՅԱՆ ՀԱՐՄԱՆ ՎՐԱՆԱԿԱՆ ՏՐԱՆՍՊՐՈՎ ՏՐԱՆՍՊՐՈՎ  
ԱՆԴՐԻ ՇԻՄՈՆ ՄԱԼԻՔ

Ա մ փ ռ փ ո ւ մ

Ենելով [1] աշխատության մեջ բերված անիզոտրոպ սալերի ճշգրտված տեսությունից, լուծված է առաձգական հիմքի վրա գտնվող կամարական բնանագործած ուղղանկյուն սալի ծաման ինդիքը, այն դեպքում, եթե սալի երկու հանդիպակած եղբերը աղատ հենված են, իսկ մյուս երկուուր՝ ամրացված են տարրեր ձեւերով.

Մանագոր գեպքում լուծված է ամրող կոնտուրով աղատ հենված ուղղանկյուն սալի ծաման ինդիքը՝ հավասարաչափ բաշխված բնի աղեցության տակ:

A. P. MELKONIAN

ON THE BENDING OF THE TRANSVERSAL-ISOTROPIC PLATES,  
LYING ON THE ELASTIC FOUNDATION

S u m m a r y

Proceeding from the more precise theory of anisotropic plates, proposed by S. A. Ambartsumian, which takes into account the influence of transversal displacements and normal strains at the planes parallel to the middle plane of the plate the problem of bending of a rectangular transversal isotropic plate lying on the elastic Vincler's foundation under the action of arbitrary transversal load in the case, when two opposite sides of the plate are freely supported, and the other two can be fastened arbitrarily is solved.

Particularly the problem of bending of rectangular plates, freely supported over the whole contour under the action of uniformly distributed load is solved. The results of calculations for some values of the ratio of elastic constants and relative thickness of plate are compared with the results of the classic theory of plates.

Л И Т Е Р А Т У Р А

1. Амбарцумян С. А. Теория анизотропных оболочек. Физматиз, М., 1961.
2. Мелконян А. П., Хачатрян А. А. Об устойчивости прямоугольных трансверсално-изотропных пластинок. Прикл. механ., т. 2, вып. 2, 1966.
3. Тимошенко С. П. Пластики и оболочки. Гостехиздат, М., 1948.
4. Мелконян А. П., Хачатрян А. А. Об изгибе прямоугольных трансверсално-изотропных пластинок. Изв. АН АрмССР, серия физ.-мат. наук, т. 18, № 1, 1965.